

**ИНФРАНИЗКОЧАСТОТНАЯ АНОМАЛИЯ
ДИЭЛЕКТРИЧЕСКОЙ ПРОНИЦАЕМОСТИ НЕМАТИКА**

A.Е.Алексеев, И.В.Загинайло, А.П.Федчук

Впервые зарегистрирован аномальный рост (вплоть до 10^5) диэлектрической проницаемости нематика ЖК-440 в области частот $10^{-3} \div 1$ Гц. Показана необходимость применения модели диффузионно-дрейфового переноса в тонких слоях жидких кристаллов.

Известно¹, что анизотропия диэлектрической проницаемости нематического жидкого кристалла (НЖК) определяется наличием молекулярной упорядоченности. Неидеальность диэлектрических свойств НЖК обусловлена наличием ионизированных примесей, как устремимых очисткой, так и возникающих в процессе электронного обмена на границе ЖК – электрод. При условии концентрации ионов в ограниченных областях НЖК возникают сильные электрические поля, способные повлиять на локальное значение параметра порядка². Перенос и кластеризация носителей тока в частично упорядоченных средах, к которым относятся и НЖК, представляют собой интереснейшую область физики конденсированного состояния, изученную совершенно недостаточно в экспериментальном плане³⁻⁵.

В настоящей работе сообщается об экспериментальном наблюдении резкого роста действительной части диэлектрической проницаемости ЖК-440, представляющего собой смесь азоксибензолов. К тонкому слою НЖК ($30 \div 100$ мкм) прикладывалось переменное напряжение от генератора ГБ-15, не превышающее по амплитуде порога возникновения ЭГД-неустойчивости. Для определения амплитуд активной и реактивной составляющих тока применялась стробоскопическая схема регистрации. Суммарная погрешность измерений в нашем случае не превышала 12%.

На рис. 1 и 2 представлены частотные зависимости $\epsilon' = \epsilon'(\omega)$ для образцов толщиной 30 и 90 мкм, соответственно. Полученные графики достаточно хорошо описываются зависимостью вида $\epsilon' \sim \omega^{-\alpha}$, где α находится в пределах $1,1 \div 1,7$. В области частот $1 \div 10$ Гц наблюдался перегиб графика $\epsilon'(\omega)$. Точка перегиба обозначена $\omega_{\max c}$. Значение этой величины находилось путем экстраполяции спрямленного участка графика до пересечения с уровнем радиочастотного значения $\epsilon'_{\text{рч}} = 5$ для ЖК-440. Эксперимент указывает на пропорциональность $\omega_{\max c}$ средней напряженности поля в образце $E_{\text{ср}}$. Рассмотрим, какого рода зависимость $\omega_{\max c}(E_{\text{ср}})$ должна реализоваться в случае ионно-миграционной поляризации НЖК. Простой расчет дает следующий вид этой зависимости:

$$\omega_{\max c} = (2/\pi d)(V_m n^{1/3}), \quad (1)$$

где n – концентрация ионов в НЖК, d – толщина слоя НЖК, V_m – амплитуда синусоидального сигнала, приложенного к образцу. Очевидно, что расчетная полевая зависимость $\omega_{\max c}$ вполне согласуется с наблюдаемой в эксперименте. Следовательно, можно утверждать, что ионно-миграционная поляризация играет существенную роль в исследуемых объектах. Приведенная схема позволяет также оценить концентрацию ионов, опираясь на известное значение электропроводности ЖК-440 $\sigma = 2,66 \cdot 10^{-9}$ Ом⁻¹м⁻¹. Подвижность ионов не превышала $2,6 \cdot 10^{-11}$ м²·В⁻¹·с⁻¹. Искомое значение концентрации находилось в диапазоне $6,3 \cdot 10^{20} \div 1,9 \cdot 10^{23}$ м⁻³. Интересно проанализировать полученные результаты с точки зрения Гриценко – Мошеля, принятой для описания поляризации НЖК⁶. Временная зависимость тока в указанной модели записывается в виде

$$I(t) = qn(t)\mu S[V(t) - Q(t)/C], \quad (2)$$

где $Q(t)$ – заряд, сосредоточенный в приконтактной области НЖК. Это выражение применимо в области частот $\omega < \omega_{\max c}$. В предельном случае малой концентрации носителей и значительной емкости приэлектродной области поляризации в диапазоне инфракраских частот (ИНЧ) наблюдаться не должна, что находится в противоречии с экспериментом. Кроме того,

неполнота модели Гриценко – Мошеля следует из отсутствия диффузионного члена в (2), в то время как необходимость его учета для ИНЧ области подчеркивается в ⁷.

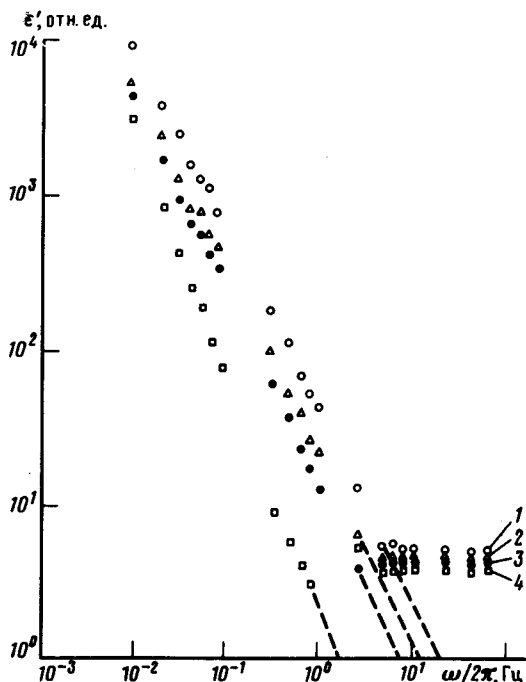


Рис. 1

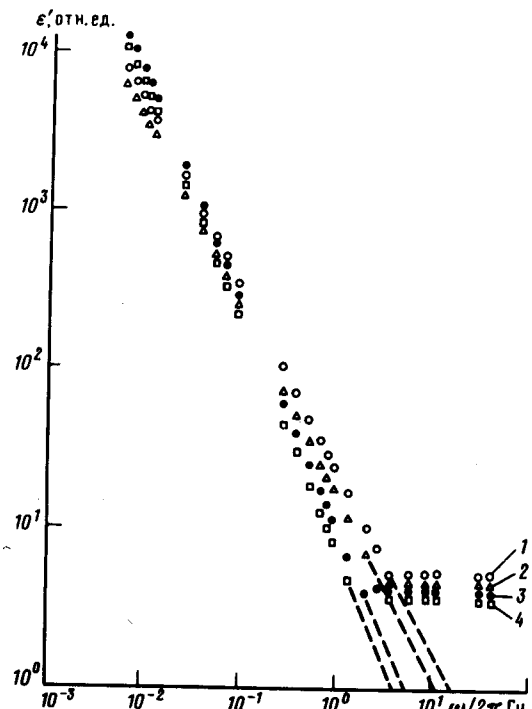


Рис. 2

Рис. 1. Частотная зависимость диэлектрической проницаемости нематика ЖК-440 при толщине слоя 30 мкм и напряженностях поля: 1 – $3,3 \cdot 10^5$ В · м⁻¹, 2 – $6,6 \cdot 10^5$ В · м⁻¹, 3 – $1,3 \cdot 10^6$ В · м⁻¹, 4 – $2,6 \cdot 10^6$ В · м⁻¹

Рис. 2. Частотная зависимость диэлектрической проницаемости нематика ЖК-440 при толщине слоя 90 мкм и напряженностях поля: 1 – $1,1 \cdot 10^5$ В · м⁻¹, 2 – $2,2 \cdot 10^5$ В · м⁻¹, 3 – $4,4 \cdot 10^5$ В · м⁻¹, 4 – $8,8 \cdot 10^5$ В · м⁻¹

На наш взгляд, альтернативный подход должен включать машинное моделирование полной системы, состоящей из уравнения Пуассона и уравнений диффузионно-дрейфового равновесия.

Результаты данной работы показывают возможность наблюдения аномально большого диэлектрического отклика неидеального НЖК, в результате чего могут возникать области повышенной напряженности поля, способные играть роль центров локальной переориентации директора. Показана также необходимость строгого подхода к описанию явлений переноса и накопления заряда в тонких слоях НЖК.

В заключение авторы выражают глубокую признательность Л.М.Блинову за полезные обсуждения и постоянный интерес к работе.

Литература

1. Блинов Л.М. Электро- и магнитооптика жидкких кристаллов. М.: Наука, 1978, с. 384.
2. Тихомирова Н.А., Чумакова С.П. Письма в ЖЭТФ, 1985, 42, 355.
3. Барановский С.Д., Шкловский Б.И., Эфрос А.Л. ЖЭТФ, 1984, 87, 1793.
4. Nelson D.R.; J. Non – Cryst. Solids, 1984, 61 – 62, 475.
5. Петрина Д.Я. Теор. и матем. физ., 1984, 59, 104.
6. Гриценко Н.И., Мошель Н.В. ЖТФ, 1982, 35, 114.
7. Климонтович Ю.Л. Статистическая физика. М.: Наука, 1982, с. 608.